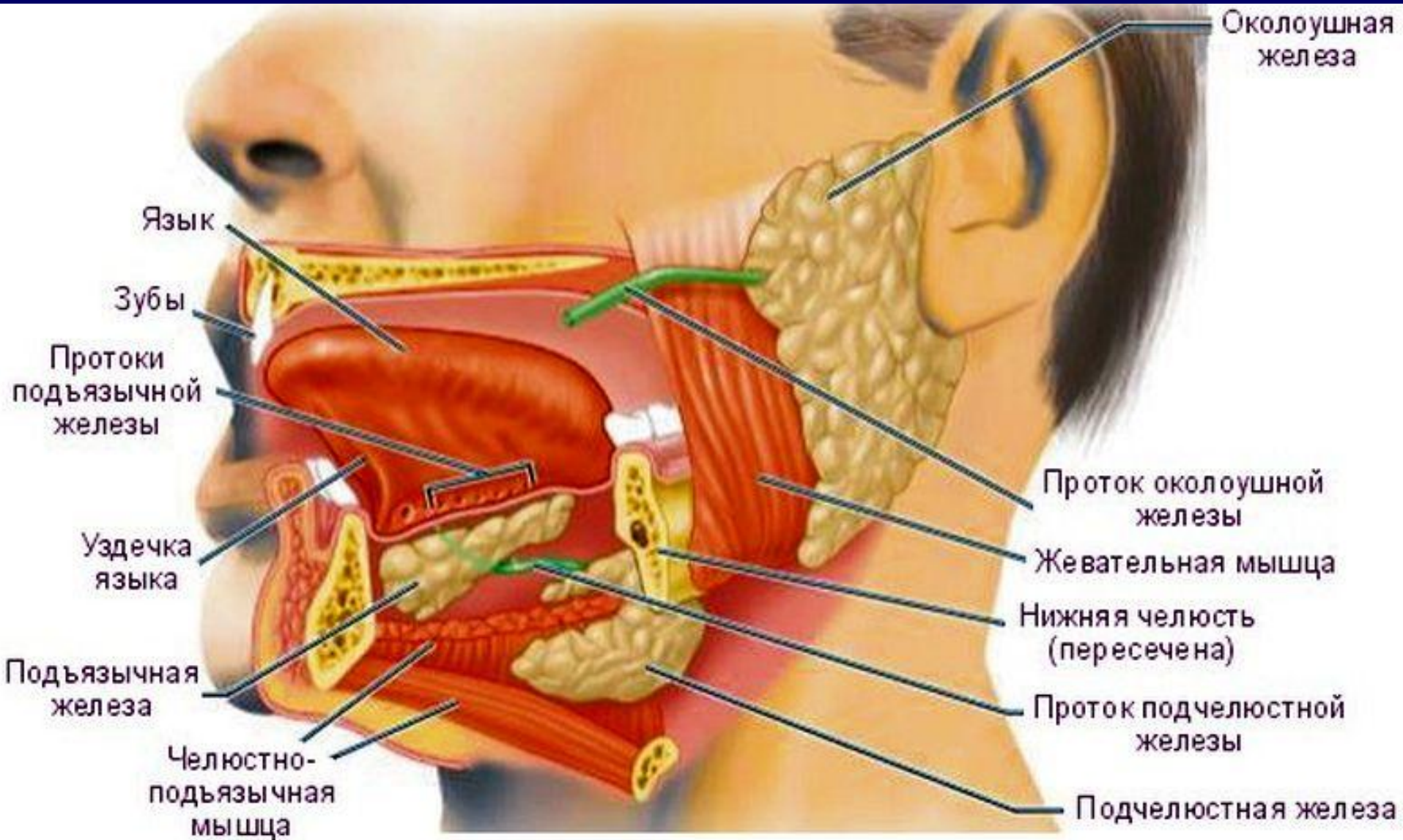


BIOCHIMIE DE LA SALIVE ET DES TISSUS DE LA CAVITÉ BUCCALE

GLANDES SALIVAIRES



COMPOSANTS INORGANIQUES DE LA SALIVE MIXTE (mmol/l)

Na⁺	6,6 - 24,0
K⁺	12-25
Cl⁻	11-20
Ca общ.	0,75 - 3,0
Фн	2,2 - 6,5
Фобш	3,0-7,0
HCO₃⁻	20 - 60
SCN⁻ (тиоцианаты)	0,5-1,2
Cu²⁺	0,3
I⁻	0,1
F⁻	0,001-0,15

MICELLE SALIVAIRE

noyau

couche adsorptive



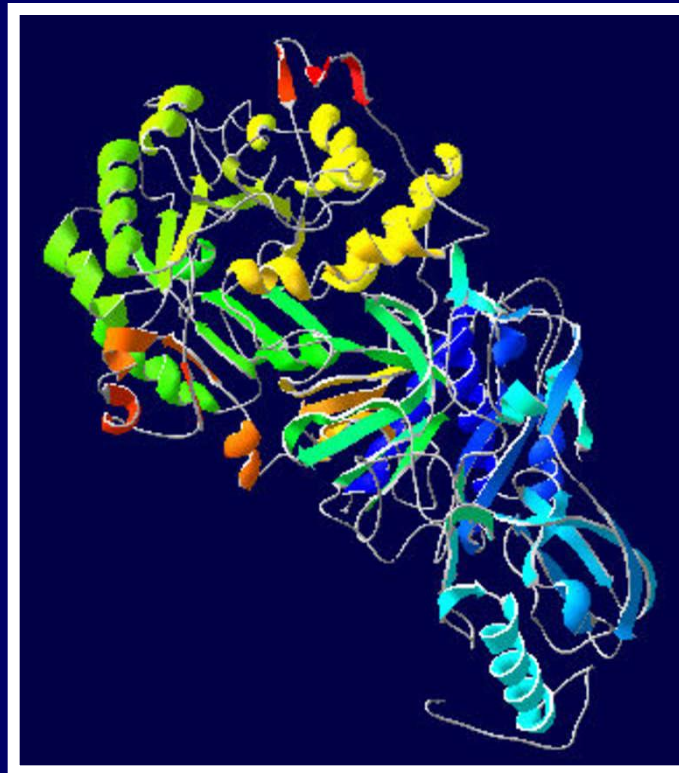
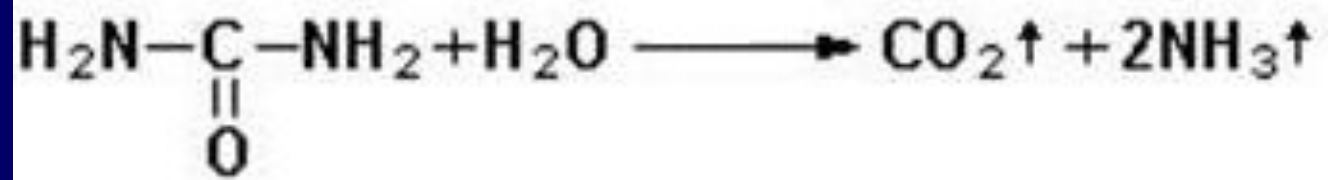
agrégat

**ions déterminant
le potentiel**

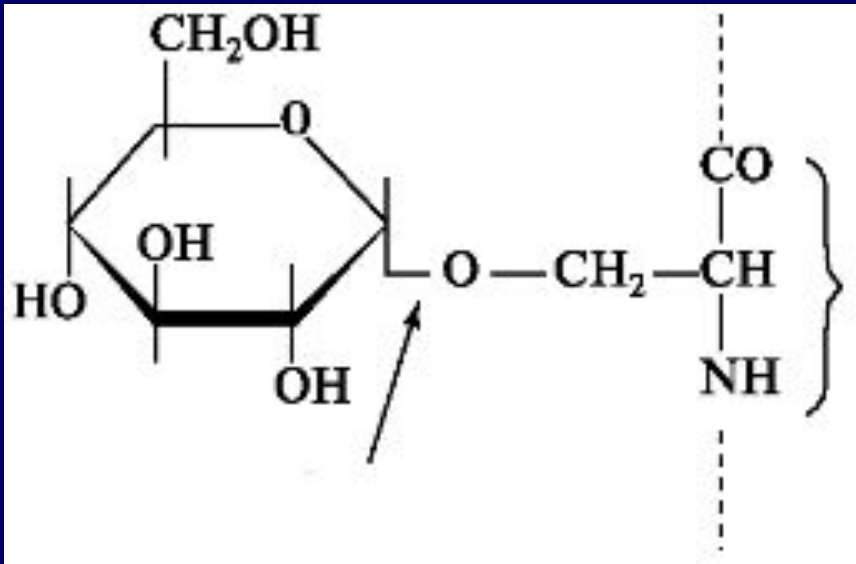
**couche solide
des
contre-ions**

**couche diffuse
des contre-ions**

URÉASE



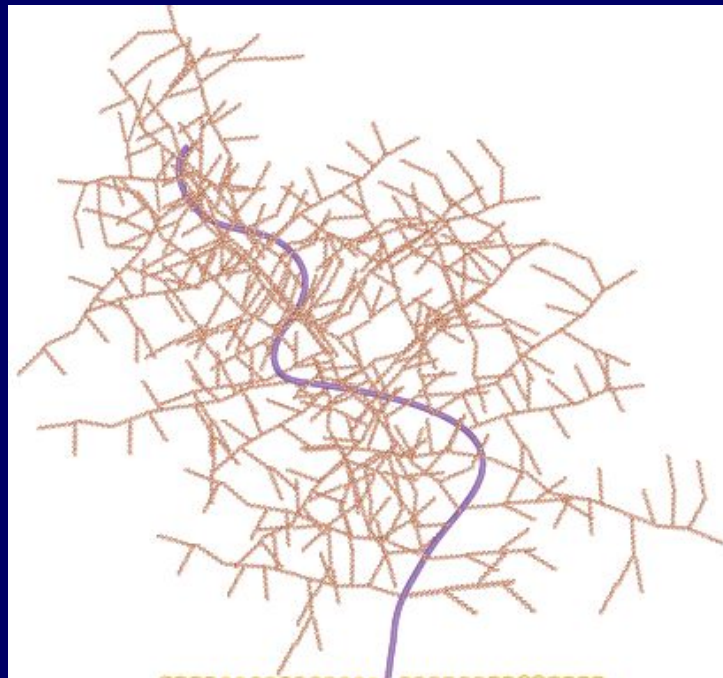
MUCINE

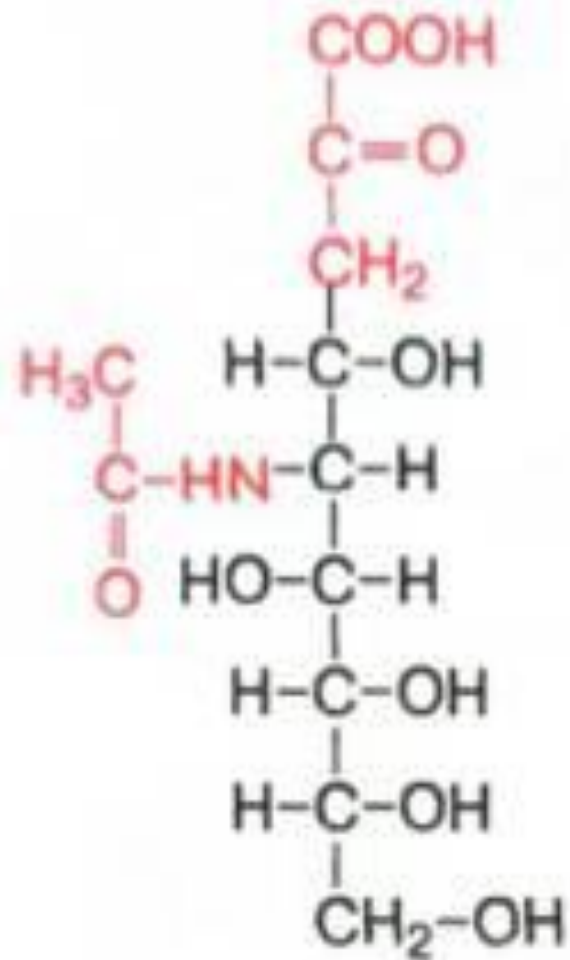
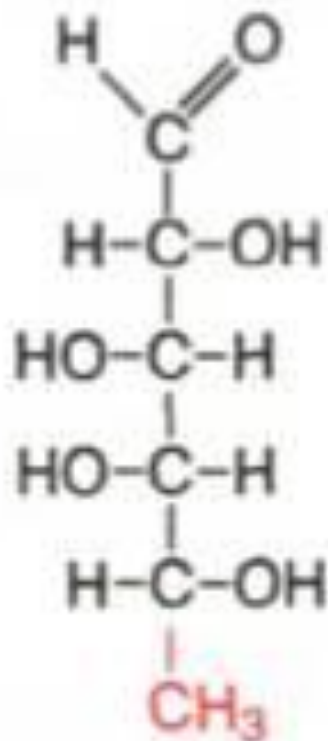
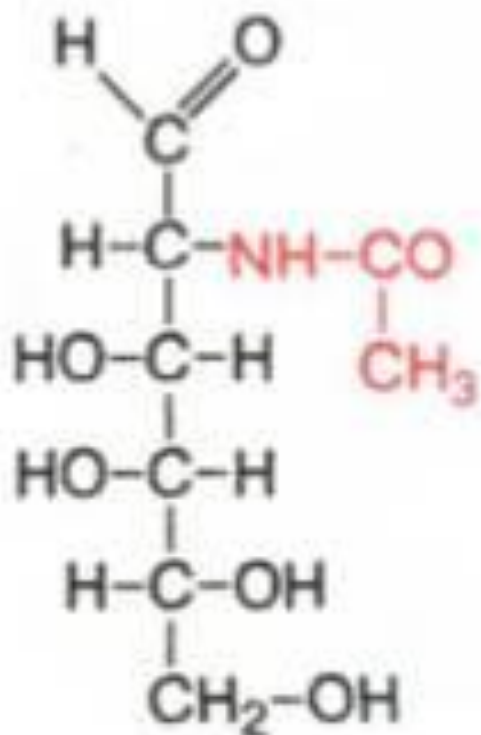


résidu de sérine

chaîne polypeptidique

**liaison
O-osidique**



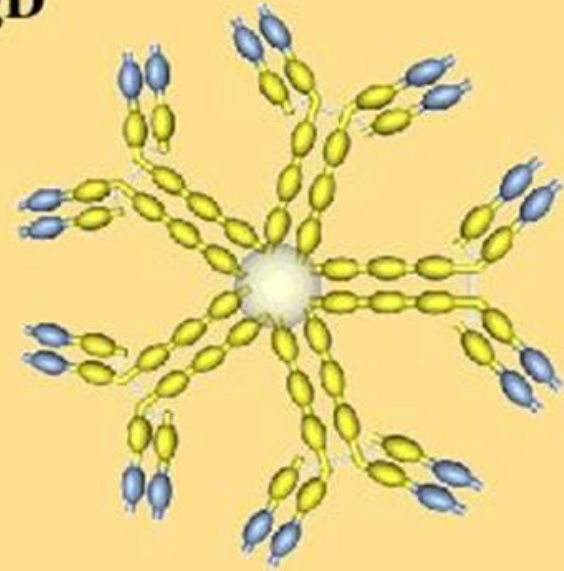
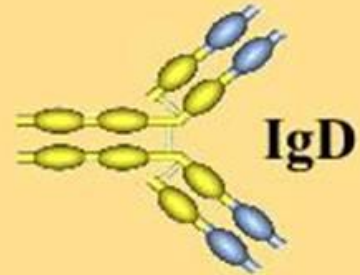
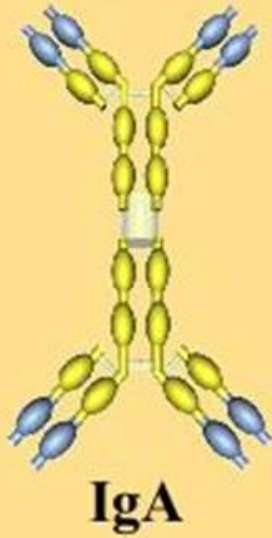


N-acétyl-galactosamine

L-fucose

acide sialique

IMMUNOGLOBULINES



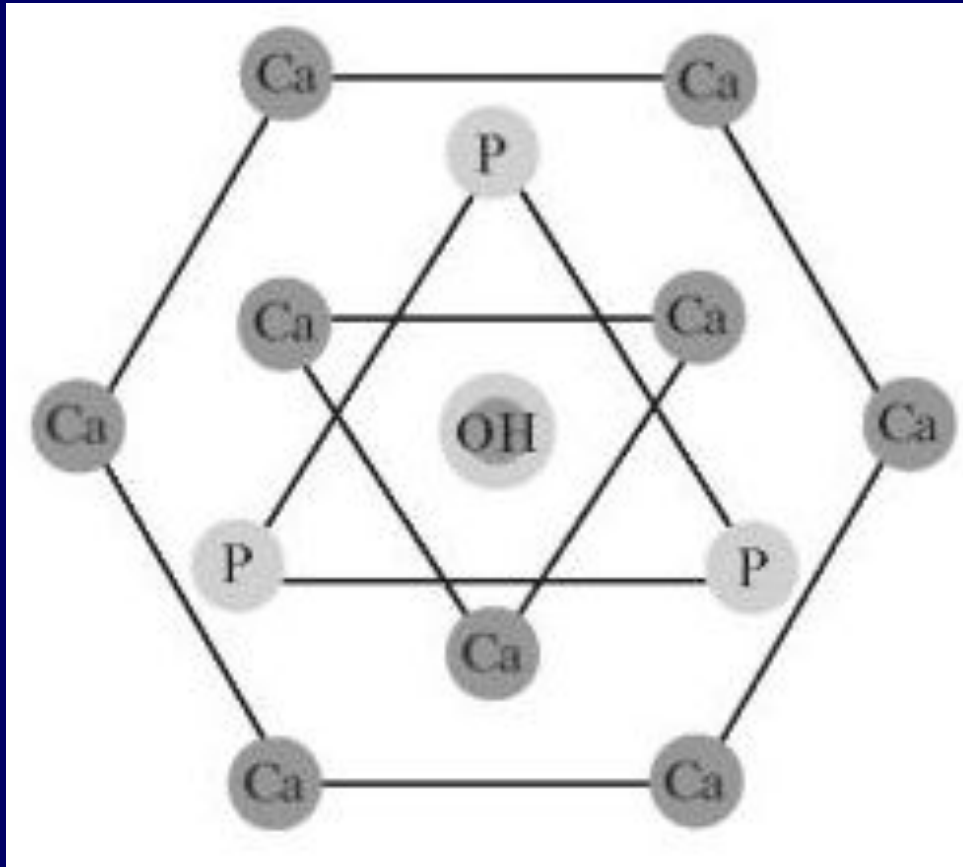


PULPE

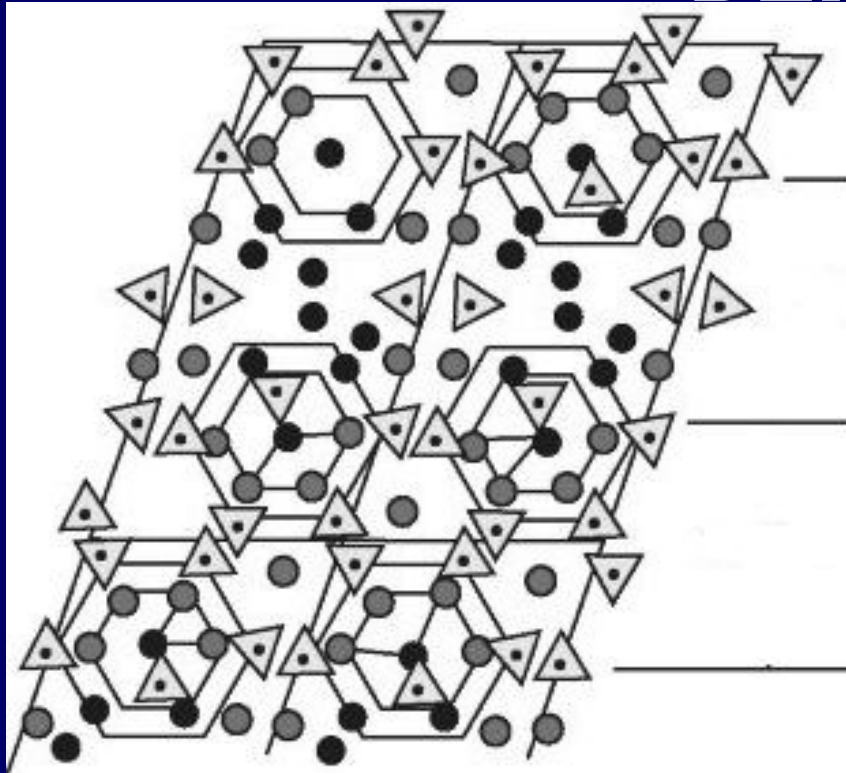


**ÉMAIL
DENTAIRE**

FORME HEXAGONALE D'UNE MOLECULE D'HYDROXYAPATITE



LOCALISATION DE CRISTAUX D'HYDROXYAPATITE DANS L'ÉMAIL DENTAIRE



couche hydratée

**couche de cristaux
d'hydroxyapatite**



calcium



phosphore

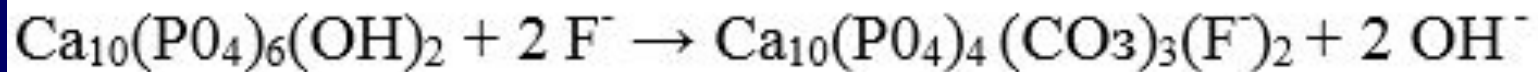
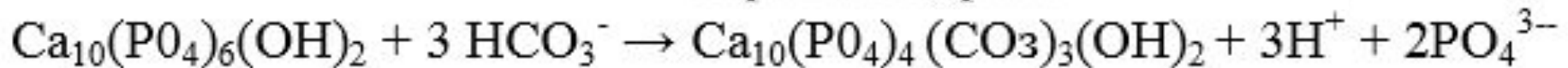
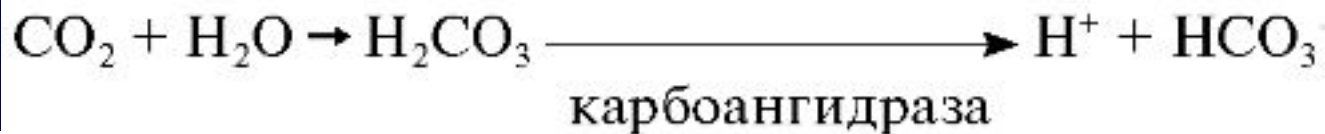
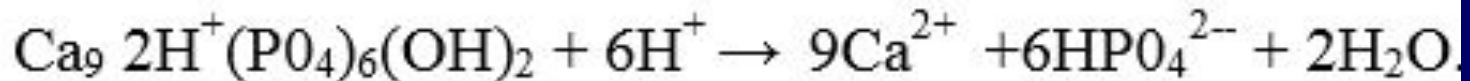
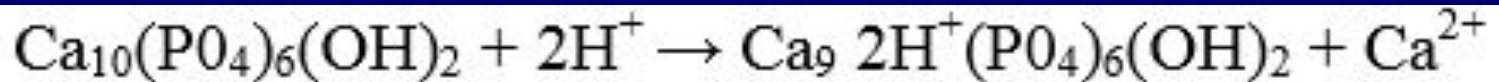
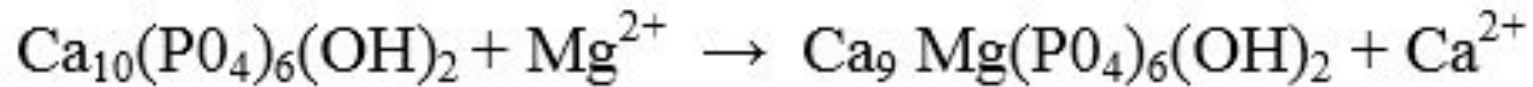


phosphate

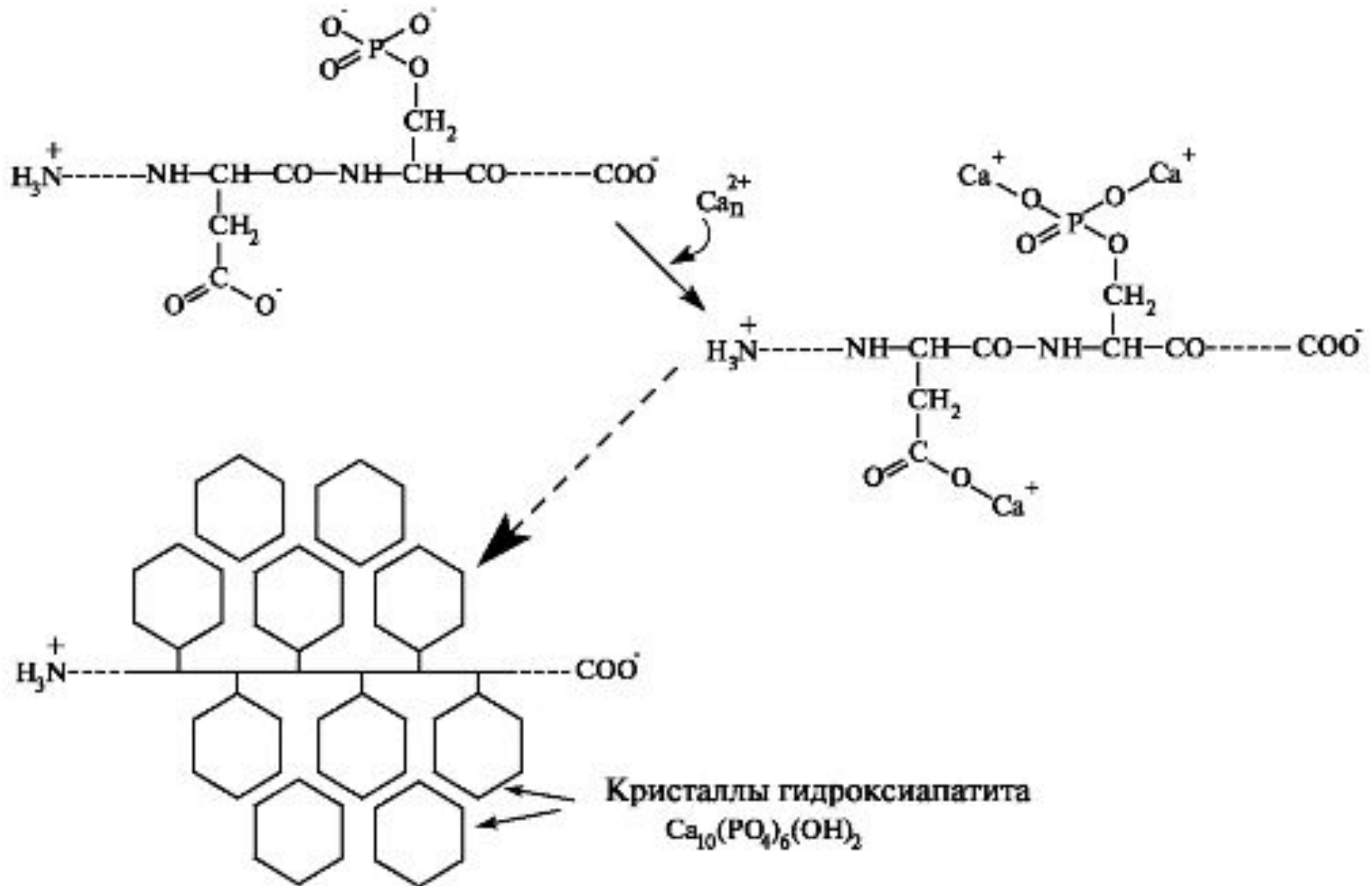


**oxygène d'une
molécule d'eau**

ÉCHANGE D'IONS DANS L'HYDROXYAPATHITE



MATRICE D'ÉMAIL DENTAIRE



MÉCANISME DE GENÈSE DE L'ÉMAIL

ectoderme



préénaméloblastes



énaméloblastes



synthèse d'énamélines et d'amélogénines



protéolyse limitée des énamélines à prédominance avec le déploiement de la chaîne polypeptidique et l'ouverture du centre d'initiation de la minéralisation et avec dégénérescence partielle des énaméloblastes



début de la minéralisation



perte totale d'énaméloblastes



fin de la minéralisation



ткани	Количество органических веществ		
	% от общего состава / % от органических веществ		
	Коллаген-1	Протеогликаны	Неколлагеновые белки и фосфолипиды
Костная	28 / 90,3	0,2 / 0,7	2,8 / 9,0
Цемент	25 / 92,6	0,2 / 0,8	1,8 / 6,7
Дентин	19 / 95	0,1 / 0,5	0,9 / 4,5